

## ساخت یک نوع دستگاه پوست‌کن دانه‌های غلافی و ارزیابی آن به کمک سویا در مقیاس آزمایشگاهی

سعید حسن تبار<sup>۱</sup> - سید رضا موسوی سیدی<sup>۲\*</sup> - داود کلاتری<sup>۲</sup>

تاریخ دریافت: ۱۳۹۶/۰۴/۲۸

تاریخ پذیرش: ۱۳۹۶/۰۸/۱۵

### چکیده

در پژوهش حاضر به طراحی و ساخت یک دستگاه کوبنده جدید بر مبنای مالش با استفاده از روابط، جداول و استانداردهای طراحی اجزای ماشین پرداخته شد و عملکرد آن مورد تحلیل و مقایسه علمی و عملی قرار گرفت. این کوبنده ساخته شده دارای موتور الکتریکی، اینورتر، غلتک‌های پوست‌کنی، جک مکانیکی، تسمه و غیره است. دستگاه دارای عرض کار ۳۰ سانتی‌متر، ارتفاع کاری متغیر ۱۰ سانتی‌متر، سرعت دورانی متغیر بین ۱۱۰ تا ۲۱۰ دور بر دقیقه و حداکثر توان ۲ اسب بخار می‌باشد. آزمون عملی این دستگاه برای محصول سویا که از زمین زراعی واقع در شهرستان بابلسر برداشت شده بود، به اجرا درآمد. در بررسی دستگاه سرعت دورانی و فاصله بین کوبنده و ضدکوبنده به ترتیب در سه سطح (۱۱۰، ۱۷۰ و ۲۱۰ دور بر دقیقه) و (۷، ۸ و ۹ میلی‌متر) در نظر گرفته شد. این آزمایشات در قالب طرح کاملاً تصادفی و با آزمایش فاکتوریل در سه تکرار انجام گرفت. این آزمایشات همچنین نشان داد که ظرفیت دستگاه برای سویا رقم سحر ۲۸/۵ کیلوگرم در ساعت بوده است. بهترین راندمان دستگاه عدد ۹۳/۱٪ بود که در سرعت دورانی ۱۷۰ دور بر دقیقه و فاصله ۹ میلی‌متر به دست آمد. بهترین بازده جدایش به دست آمده برای دستگاه ۹۲/۳٪ بود که در سرعت دورانی ۲۱۰ دور بر دقیقه و فاصله کوبنده ۷ میلی‌متر به دست آمد. درصد تلفات کل دستگاه نیز در سرعت دورانی ۱۷۰ دور بر دقیقه و فاصله ۷ میلی‌متر به کمترین حد خود یعنی ۱/۷٪ رسید. در نهایت می‌توان پیشنهاد کرد که برای حصول حداکثر راندمان، حداکثر جدایش و حداقل تلفات برای سویا می‌توان به ترتیب از ترکیب (۹ mm - ۱۷۰ rpm)، (۲۱۰ rpm - ۷ mm) و (۷ mm - ۱۷۰ rpm) استفاده نمود.

**واژه‌های کلیدی:** دانه‌های غلافی، دستگاه پوست‌کن، سویا، کوبنده و ضدکوبنده

### مقدمه

آن در تأمین نیازهای اولیه بشر، پارامترهای مؤثر بر میزان هزینه‌ها، بازده، مصرف سوخت و غیره بسیار مهم می‌باشد. یکی از بخش‌های مهم در کشاورزی، عملیات خرم‌کوبی است که این پارامترها را به مقدار زیادی تحت تأثیر قرار می‌دهد. بنابراین افزایش کارایی ماشین‌های کوبنده حتی با بهینه‌سازی در یک بخش کوچک، به صرفه‌جویی عظیمی در انرژی منجر می‌شود (Mirzazade et al., 2011). در میان منابع غذایی مختلف، گیاهان عمده‌ترین منبع غذایی بشر به‌شمار می‌روند و در بین گیاهان مختلف، حبوبات (لوبیا، ماش، نخود، باقلا و غیره) و نباتات روغنی (سویا، بادام زمینی، آفتابگردان و غیره) از اهمیت ویژه‌ای برخوردار است. در این میان سویا با نام علمی (*Glycine max*) یکی از مهم‌ترین منابع تولید روغن و پروتئین گیاهی می‌باشد که به‌عنوان غذای اصلی در بسیاری از کشورهای جهان در سطوح وسیع کشت می‌گردد. سویا دارای ۵۰-۳۰٪ پروتئین می‌باشد که طبق آمار ارائه شده توسط وزارت جهاد کشاورزی در سال زراعی ۹۴-۹۳، ۶۱ هزار هکتار از زمین‌های کشور زیر کشت سویا قرار داشت (Ahmadi et al., 2016). جدا کردن دانه‌ها از درون

امروزه با توجه به روند روبه رشد جمعیت جهان به‌خصوص در کشورهای جهان سوم و نیاز روزافزون به مواد غذایی، تأمین غذای مورد نیاز افراد یکی از اساسی‌ترین مسائل بشر است. از این رو بشر همواره در تلاش بوده تا روش‌های جدیدی را به‌منظور افزایش سرعت و کیفیت محصولات کشاورزی ابداع کند. به این علت در سال‌های اخیر تلاش محققین و پژوهشگران همواره این بوده است که کشاورزان از حداقل امکانات و ماشین‌های متداول و موجود در کشور برای مکانیزه کردن کشاورزی و افزایش زمین‌های زیر کشت استفاده نمایند تا به اهداف نهایی که همان افزایش تولید و بهبود کیفیت محصولات بوده دست یابند (Noormohamadi and Zareiean, 2003). امروزه با توجه به رشد و توسعه روزافزون کشاورزی و اهمیت

۱ و ۲ - به ترتیب دانش‌آموخته کارشناسی ارشد و دانشیار گروه مکانیک بیوسیستم، دانشگاه علوم کشاورزی و منابع طبیعی ساری

\* - نویسنده مسئول (Email: mousavi22@yahoo.com)

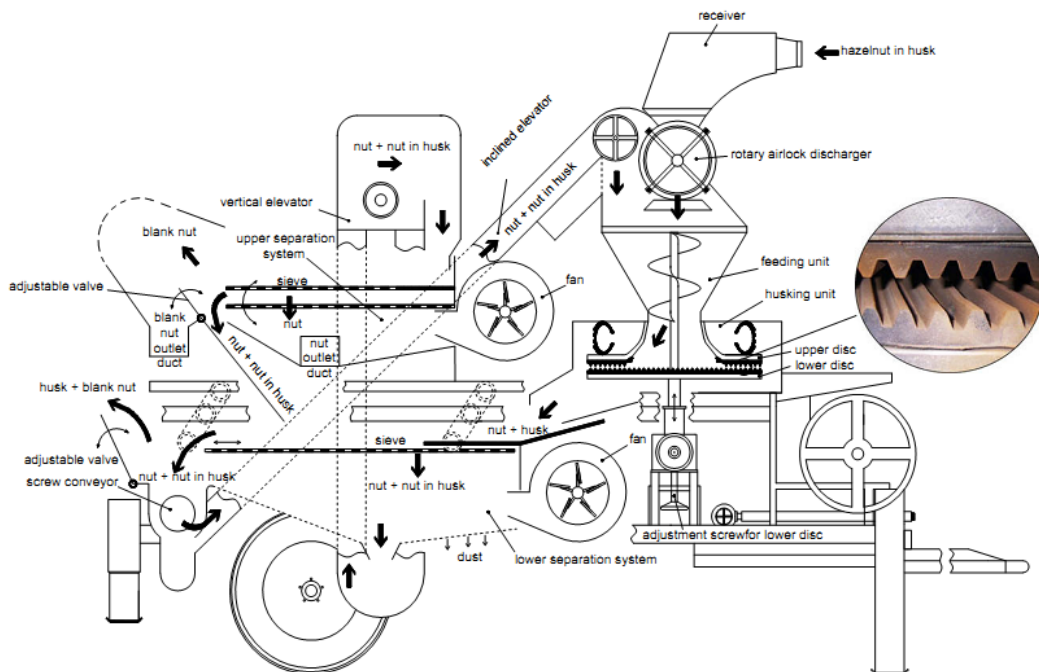
DOI: 10.22067/jam.v9i1.66218

گردان دارای حداکثر سرعت ۱۵۰ دور بر دقیقه بودند. فاصله بین صفحات کوبنده از صفر تا ۵۰ میلی‌متر قابل تنظیم بود. نتایج حاصل از آزمایشات نشان داد که ظرفیت دستگاه از ۱۱۷۰ تا ۲۰۸۵ کیلوگرم در ساعت متغیر است و دستگاه دارای حداکثر بازده جدایش ۹۹/۳۲ درصد و حداکثر تلفات ۲/۷۸ درصد می‌باشد (Behyan *et al.*, 2009).

شیرزاد و همکاران (۲۰۱۳) به بررسی تأثیر فاصله کوبنده و ضدکوبنده در شکستگی دانه در مخزن پرداختند. متغیرهای مستقل شامل فاصله کوبنده و ضدکوبنده و دور فن می‌باشد. میزان شکستگی دانه‌ها در مخزن کمباین هم به‌عنوان پارامتر وابسته تعریف گردید. نتایج حاصل از تجزیه واریانس نشان داد که اثر هر دو فاکتور در میزان شکستگی دانه‌های موجود در مخزن در سطح احتمال ۱٪ معنی‌دار و اثرات متقابل آن غیرمعنی‌دار می‌باشد. بررسی‌های Kirkkari و همکاران (۲۰۰۱) در مورد کاهش صدمات مکانیکی وارد بر یولاف در کشور فنلاند نشان داد که با کاهش سرعت دورانی کوبنده، میزان جوانه‌زنی دانه‌های برداشت شده بیشتر می‌شود. اما کاهش فاصله کوبنده و ضدکوبنده تأثیری بر میزان جوانه‌زنی نداشت. Kowalczuk (۱۹۹۹) طی پنج سال کار روی کمباین با کوبنده دندان سوهانی برداشت سویا در کشور لهستان، تلفات کمی واحد کوبش را برابر ۰/۸۴٪ و تلفات کیفی در قالب صدمات مکانیکی را برابر ۹/۹٪ اعلام کرد، که از این مقدار تلفات کیفی، ۴/۶٪ مربوط به صدمات ناشی از شکستگی دانه‌ها و ۵/۳٪ مربوط به ترک خوردگی دانه‌ها بود. Arvinder و همکاران (۲۰۰۱) طی تحقیقی تأثیر رطوبت دانه، سرعت دورانی کوبنده و نرخ تغذیه محصول را بر صدمات مکانیکی دانه برنج و درصد جوانه‌زنی آن در برداشت با کمباین جاندر 1055i که مجهز به کوبنده دندان میخی است، تعیین نمودند. آن‌ها صدمات مکانیکی ظاهری را ۰/۶ تا ۴/۱٪، صدمات مکانیکی درونی را ۱۷/۶ تا ۲۸٪ و جوانه‌زنی دانه را ۶۹/۸ تا ۸۲/۳٪ گزارش کردند. همچنین نتایج این تحقیق نشان داد که با کاهش رطوبت دانه، افزایش سرعت دورانی کوبنده و کاهش نرخ تغذیه محصول، میزان صدمات مکانیکی ظاهری و درونی افزایش و درصد جوانه‌زنی کاهش می‌یابد. Singh و همکاران (۱۹۸۱) تأثیر پارامترهای محصول و ماشین را بر میزان کوبش و کیفیت محصول سویا مورد بررسی قرار دادند. آن‌ها برای مشخص کردن صدمات وارد شده به محصول، شکستگی ظاهری دانه را از طریق توزین دانه‌های شکسته شده در نمونه‌های مشخص و شکستگی‌های درونی را از طریق انجام آزمایش درصد جوانه‌زنی دانه اندازه‌گیری نمودند. در این بررسی مشخص گردید که صدمات ظاهری دانه در تمامی رطوبت‌ها با افزایش دور کوبنده، افزایش می‌یابد ولی تغییرات دور کوبنده بر روی درصد جوانه‌زنی تأثیر اندکی دارد. کریمی و فدوی به طراحی، ساخت و ارزیابی واحد مغزکن پسته وحشی پرداختند. مکانیزم دستگاه ساخته شده بر مبنای فشار هسته بنه

غلاف یک فرآیند ضروری است و برای جدا کردن دانه‌ها از غلاف در اکثر موارد از کمباین غلات استفاده می‌شود. در بسیاری از مناطق روستایی کشورهای در حال توسعه، دانه‌ها به‌صورت دستی از غلاف جدا می‌شود که این امر می‌تواند هفته‌ها به طول بیانجامد (Adewunmi, 2000). در بعضی از موارد نیز از کودکان برای پوست‌کنی استفاده می‌شود که این کار باعث جدایی آن‌ها از درس خواندن و مدرسه رفتن می‌شود و همچنین صدمات و آسیب‌هایی را به کودکان و افرادی که در این امر فعالیت دارند، وارد می‌کند (Candra and Wardiyanto, 1998). همچنین در روشی دیگر برای پوست‌کنی محصولات غلافی، دانه‌ها را داخل کیسه ریخته و با چوب بر روی آن ضرباتی وارد می‌کنند تا دانه‌ها از غلاف جدا شود، این کار باعث آسیب رسیدن جدی به دانه‌ها و ایجاد گرد و غبار زیاد می‌شود (Changrie, 1999). با وجود اینکه میزان متوسط افت کمباین‌ها در کشورهای توسعه‌یافته ۴ تا ۵٪ است اما این میزان برای کشور ایران تا ۲۰٪ و حتی بیشتر گزارش شده که این موضوع از نظر اقتصادی مقرون به صرفه نیست (Mirzazade *et al.*, 2011). بررسی‌های مختلفی روی کارکرد خرمن‌کوب‌ها در راستای استفاده بهینه و مطلوب جهت کاهش مصرف توان و بهبود فرآیند خرمن‌کوبی صورت گرفته است، برای نمونه (Srison *et al.*, 2016) پارامترهای شرایط کاری را برای یک پوست‌کن ذرت جریان محوری مورد بررسی و ارزیابی قرار دادند. طول واحد پوست‌کنی ۰/۹ متر و قطر آن تا انتهای میله‌های پوست‌کنی ۰/۳ متر بود. فاکتورهای شرایط کاری در سه سطح رطوبتی، سه سطح از سرعت تغذیه و سه سطح از سرعت خطی کوبنده ارزیابی شد. نتایج بررسی‌های آنان نشان داد که محتوای رطوبتی تأثیر قابل‌توجهی در شکست دانه و مصرف انرژی دارد به‌طوری‌که با افزایش رطوبت دانه‌های شکسته شده و مصرف انرژی افزایش می‌یابد، اما در تلفات واحد پوست‌کنی تأثیری ندارد. نتایج آنان در بررسی سرعت کوبش نشان داد که با افزایش سرعت، میزان دانه‌های شکسته شده و مصرف سوخت افزایش می‌یابد اما تلفات واحد پوست‌کنی کاهش می‌یابد. نرخ تغذیه مواد به درون محفظه کوبش روی مصرف انرژی تأثیر گذاشته به طوری که با افزایش نرخ تغذیه مصرف سوخت بیشتر شده اما در میزان دانه‌های شکسته و تلفات واحد پوست‌کن تأثیری ندارد. (Ojomo *et al.*, 2012) در نیجریه پوست‌کنی را ساختند که از قسمت‌های قیف، واحد خرمن‌کوب (شامل کوبنده و ضدکوبنده)، بادزن و مسیر انتقال قدرت تشکیل شده بود و در آن فاصله بین کوبنده و ضدکوبنده قابل تنظیم بود. بهترین راندمان دستگاه در سرعت دورانی ۴۰۰RPM و رطوبت ۱۱٪ با مقدار ۸۹/۹۵٪ و بازده بوجاری دستگاه ۹۵/۶٪ صورت گرفت. پوست‌کنی که برای پوست‌کنی گردو در ترکیه ساخته شد از چهار بخش: واحد تغذیه، واحد پوست‌کنی و بخش جدایش بالایی و پایینی تشکیل شد. این دستگاه دارای طول مؤثر پوست‌کنی ۲۰۰ میلی‌متر بود و صفحات

در بین دو استوانه محرک و متحرک تعیین گردید.



شکل ۱- نمایی از نمودار عملکردی پوست کن  
**Fig. 1.** Functional diagram of the husker

کردند. آن‌ها از آزمایشات انجام شده و تحلیل آن به کمک نرم افزار MSTATC این طور نتیجه گرفتند که برای دسترسی به مطلوب ترین حالت کوبش در بوجاری بذر چغندر قند در خرمن کوب، بهتر است اندازه سوراخ های ضد کوبنده ۸ میلی متر و سرعت دورانی کوبنده برابر ۶۸۰ دور بر دقیقه در نظر گرفته شود. منصوری و مینایی (۲۰۰۲) در تحقیقی تأثیر پارامترهای سرعت دورانی کوبنده و فاصله کوبنده و ضد کوبنده را بر میزان تلفات واحد کوبنده اندازه گیری نمودند. نتایج این تحقیق نشان داد که شکستگی دانه‌ها در اثر افزایش دور کوبنده از ۷۵۰ به ۹۵۰ دور در دقیقه، بیش از دو برابر شده است و افزایش فاصله کوبنده و ضد کوبنده تأثیر کاهشی بر میزان شکستگی دانه‌ها داشته است. بر اساس تحقیقاتی که توسط Tahir و همکاران (۲۰۰۳) بر روی یک دستگاه کمباین Claas مدل دومیناتور در کشور پاکستان انجام شد پارامترهای کاری کمباین مورد ارزیابی قرار گرفت و متوسط تلفات گندم ۱/۲۵ درصد و شکستگی دانه‌های گندم نیز ۵/۷ درصد اعلام شد. Santokh و همکاران (۲۰۰۲) با بررسی عملکرد مزرعه‌ای کمباین‌ها در برداشت برنج میزان آسیب‌های ظاهری دانه‌ها را با توجه به میزان سرعت پیشروی کمباین، سرعت دورانی کوبنده و رطوبت دانه ۲/۵ تا ۳/۵ درصد اعلام کردند. Mailander و همکاران (۱۹۸۳) تلفات برداشت را برای سویا، ذرت و گندم در کمباین کوبنده جریان محوری اندازه‌گیری کردند و به این نتیجه رسیدند که نرخ تغذیه مواد

در ارزیابی دستگاه تأثیر پارامترهای سرعت دورانی، فاصله بین دو استوانه و رطوبت مورد تست و ارزیابی قرار گرفت. نتایج نشان داد که با افزایش رطوبت هسته و فاصله بین دو استوانه راندمان دستگاه کاهش می‌یابد. به‌طور اجمالی بیشترین راندمان مغز کردن در رطوبت ۴/۳۱ درصد، فاصله بین دو استوانه ۰/۴۸ میلی‌متر و دور ۲۵/۸۴ دور بر دقیقه به‌دست آمد (Karimi and Fadavi, 2013). Dres'zer و Gieroba (۱۹۹۹) آزمایشاتی را جهت تعیین صدمات مکانیکی وارد بر چند نوع غله با کمباین‌های چند استوانه‌ای به انجام رساندند. میزان صدمات بیشتر تحت تأثیر مراحل متعددی بود که برای جدا کردن دانه صورت می‌پذیرفت. همچنین میزان صدمات به نوع غله نیز بستگی داشت. ارقام جو و یولاف مقاومت بیشتری در برابر صدمات نشان می‌داد در حالی که مقاومت چاودار و گندم کمتر بود. کمترین صدمات هم‌زمانی حاصل شد که سرعت دورانی کوبنده کمتر از ۷۸ رادیان بر ثانیه بود. افزایش فاصله کوبنده و ضد کوبنده نیز باعث کاهش صدمات مکانیکی محصول شد. مظفری و همکاران (۲۰۰۸) اثر سرعت دوران کوبنده و اندازه سوراخ‌های ضد کوبنده را بر عملکرد خرمن کوبی در بذرگیری بذر چغندر قند مورد مطالعه قرار دادند. آن‌ها در این مطالعه از یک خرمن کوب گندم و جو استفاده کردند و یکسری تغییرات در پروانه مکنده پنوماتیکی، سرنده، سیکلون و چرخ لنگرهای دوسر کوبنده جهت متناسب‌سازی این ماشین برای بذرگیری چغندر قند اعمال

مؤثر دستگاه ۳۰ سانتی‌متر و ظرفیت کاری دستگاه حدود ۳۰ کیلوگرم در ساعت فرض شد و گشتاور لازم برای جدایش دانه از غلاف توسط دستگاه تورک‌متر (TQ8800، لوترون، تایوان) اندازه‌گیری شد. دستگاه تورک‌متر به یک استوانه مطابق شکل ۲ (b) که روی سطح داخلی هر استوانه سه انگشتی ضربه‌زن (تیغه‌ای) با سطح دایره‌ای، مربعی، مثلثی متفاوت نصب گردید. از این استوانه‌ها برای سنجش مقدار گشتاور لازم برای جدا کردن دانه استفاده گردید. با اتصال این استوانه‌ها به دستگاه تورک‌متر و قرار دادن غلاف در داخل استوانه و چرخاندن تورک‌متر مقدار گشتاور لازم برای جدا کردن دانه‌ها از غلاف به‌دست آمد. با بررسی منابع مختلف مشخص شد به‌طور میانگین از بازه سرعت حدود ۴۰۰ تا ۹۰۰ دور بر دقیقه برای کوبنده‌ها استفاده می‌شود (Ojomo et al., 2012; Mansoori and Minaee, 2002; Mozafari et al., 2008). اما از آنجایی که معیار این تحقیق برای جدایی دانه از غلاف، جدایی بر اثر مالش و نه ضربه است و مطابق ارزیابی‌های اولیه انجام شده از دستگاه، ترجیح داده شد از بازه سرعت ۱۱۰ تا ۲۱۰ دور بر دقیقه استفاده شود، چرا که اولاً، سرعت پایین‌تر از ۱۱۰ دور بر دقیقه قادر به باز کردن غلاف‌ها و جدایی دانه‌ها از آن نیست و ثانیاً، سرعت‌های بالاتر از ۲۱۰ دور بر دقیقه باعث جنب و جوش بیش از حد غلاف‌ها می‌شود و دستگاه در باز کردن غلاف با مشکل مواجه خواهد شد. توان مورد نیاز برای ورود هم‌زمان ۱۰ غلاف، گشتاور مورد نیاز ۳ نیوتن‌متر برای جدایی هر غلاف از دانه‌هایش و حداکثر سرعت کوبنده ۲۱۰ دور بر دقیقه از رابطه (۱) محاسبه می‌شود:

$$P_{EM} = \frac{(T \times N)}{9550} \quad (1)$$

که در آن  $P_{EM}$  قدرت موردنیاز برحسب کیلووات،  $T$  گشتاور الکتروموتور بر حسب نیوتن‌متر و  $N$  سرعت دورانی بر حسب دور بر دقیقه می‌باشد.

برای به‌دست آوردن راندمان دستگاه می‌توان از رابطه (۲) که برابر است با وزن کل دانه‌های جدایش شده به وزن کل دانه‌ها استفاده کرد (Changrie, 1999).

$$\text{راندمان دستگاه} = \frac{W_2 + W_3 + W_4 + W_6}{W_1 + W_2 + W_3 + W_4 + W_5} \times 100 \quad (2)$$

در ادامه در رابطه (۳) بازده جدایش دستگاه که برابر است با نسبت وزن دانه‌های جدا شده سالم بر وزن کل دانه‌های وارد شده به پوست‌کن ارائه شده است (Ojomo et al., 2012).

$$\text{بازده قسمت جدایش دستگاه} = \frac{W_6}{W_2 + W_3 + W_4 + W_5 + W_6} \times 100 \quad (3)$$

به درون کوبنده، بیشترین تأثیر را روی نرخ تلفات دارد. Haffer و همکاران (۱۹۹۱) چندین تنظیم از کمباین را روی دو رقم از نخود مورد آزمایش قرار دادند. سرعت پیشروی تأثیر به‌سزایی روی تلفات برداشت داشت. او همچنین گزارش کرد که سرعت پیشروی و نوع رقم گیاه تأثیر چندانی روی غلات شکسته شده ندارد و فاصله بین کوبنده و ضدکوبنده و ظرفیت فن تمیزکننده نقش مهم‌تری را ایفا می‌کند. همچنین فاصله بین کوبنده و ضدکوبنده و سرعت فن تمیزکننده تأثیری روی تلفات کوبش ندارد. Annamalia و Datt (۱۹۹۱) در طراحی و ساخت خرمن‌کوب با کوبنده دندان‌میخی، سرعت خطی کوبنده را ۱۷ متر بر ثانیه در نظر گرفتند. نتایج آزمایش دستگاه روی محصول برنج با درصد رطوبت ۲۵-۱۶٪ بر مبنای تر و با میزان تغذیه ۳-۱/۸ تن بر ساعت، نشان داد که درصد دانه‌های کوبیده نشده از ۰/۷-۰/۲٪ متغیر بوده و دانه‌های صدمه دیده تحت این شرایط وجود نداشته است. در ادامه به سه مورد از معایب کوبنده‌های معمول اشاره می‌شود:

نبشی یا دندان‌هایی که روی کوبنده (در خرمن‌کوب دستگاه) قرار دارد به دانه‌ها آسیب می‌رساند. همچنین در اثر جداشدن، دانه‌ها در بین کوبنده و ضدکوبنده قرار گرفته که باعث آسیب به دانه‌ها می‌شود. این فرآیند به قوه نامیه بذر آسیب رسانده، در نتیجه از این دانه‌ها نمی‌توان به‌عنوان بذر استفاده نمود (Alonge and Adegbulugbe, 2000).

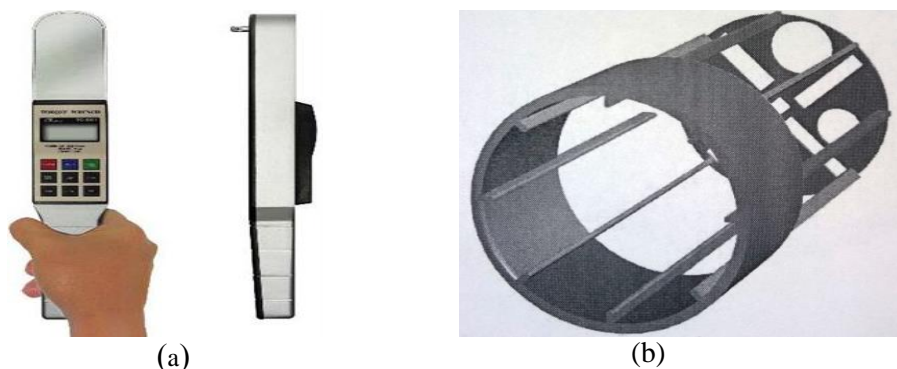
ساخت و تولید این نوع خرمن‌کوب‌ها، به صورت کوبنده و ضدکوبنده با محیط استوانه‌ای شکل انجام می‌شود و قرار دادن میله‌های ثابت یا دندان‌ها روی محیط خارجی کوبنده، فناوری ساخت و تولید این نوع دستگاه‌ها را سخت‌تر می‌کند (Adewunmi, 2000). تأثیر منفی دیگر این نوع دستگاه‌ها شکستن غلاف‌ها می‌باشد که باعث صرف انرژی زیادی شده و باعث می‌شود عملیات بوجاری کردن دانه‌ها سخت‌تر انجام شود و توان مصرف شده در این نوع دستگاه‌ها بالا رود (Singh et al, 2012).

با توجه به مطالعات انجام شده در کوبنده‌های معمول، بخش عمده دانه‌ها بر اثر ضربه از غلاف جدا می‌شود، اما هدف از این تحقیق، طراحی و بهینه‌سازی پوست‌کن دانه‌های غلافی در مقیاس آزمایشگاهی است که در آن جدایش دانه‌ها از غلاف بر اساس مالش انجام گرفته و سپس در شرایط مزرعه‌ای مورد استفاده قرار می‌گیرد.

## مواد و روش‌ها

### محاسبات

برای طراحی پوست‌کن مورد نظر، پس از بررسی خصوصیات فیزیکی و مکانیکی محصولات غلافی مختلف خصوصاً سویا، قدرت مورد نیاز موتور الکتریکی محاسبه گردید. در این پروژه عرض کاری



شکل ۲- (a) تورک متر برای اندازه گیری گشتاور (b) استوانه متصل به تورک متر  
**Fig. 2.** (a) Torque meter for measuring the torque (b) Cylinder attached to the torque meter

### طرز کار دستگاه

غلاف های سویا از قسمت پهلو بر اساس اصل حداقل نیروی لازم (Sadeghi, 2012) برای ورود محصول به بخش کوبنده دستگاه، وارد شیب کوبنده می شود. کوبش غلاف ها بر اساس نیروی چرخشی ای که غلتک های بالا و پایین در خلاف جهت هم به پوسته ی محصول وارد می کند، انجام می شود. ضمناً گشتاور وارده کوبنده ناشی از حرکت چرخشی غلتک های پوست کن است که بر پوسته محصول وارد شده و باعث جدایش دانه از غلاف می شود. بر روی محور غلتک های کوبنده پولی هایی تعبیه شده است که توسط تسمه هایی انتقال حرکت چرخشی از موتور الکتریکی سه فاز ۰/۷۵ کیلووات (Stream، چین) به غلتک های کوبنده را بر عهده دارند. برای جلوگیری از حرکت انتقالی محور غلتک های کوبنده، مجموعه در داخل بلبرینگ قرار می گیرد که پوسته خارجی آن به بدنه ثابت شده است. با توجه به آن که نیاز بود برای پوست کنی دانه، غلتک های پوست کن با غلاف ها در تماس باشد و همچنین به منظور جدایش آسان تر دانه ها از غلاف ترجیح داده شد از پیچ های ارشمیدسی راست گرد و چپ گرد روی غلتک ها استفاده شود. در این پژوهش از چهار محور استفاده شد که روی هر محور یک جفت غلتک نصب شد که دارای پیچ ارشمیدسی خلاف جهت هم بود تا محصولی را که احیاناً در کناره کوبنده قرار دارد به مرکز آن آورده و روی محصول عملیات کوبش را انجام دهد. از آنجایی که محصولات غلافی مختلف مانند انواع لوبیاهای، باقالا، ماش، نخود فرنگی، سویا و غیره دارای اندازه های مختلفی هستند نیاز بود تا فاصله بین غلتک های بالایی و پایینی متغیر باشد. برای این منظور از جک های مکانیکی استفاده شد تا با بالا و پایین بردن محور غلتک های پایینی بتواند این فاصله را به اندازه دلخواه درآورده و مانع از آسیب های ظاهری مانند شکستگی و ترک خوردگی و نیز آسیب به قوه نامیه بذر شود.

برای به دست آوردن تلفات کل دستگاه که شامل میزان تلفات دانه های ترک خورده، دانه های شکسته شده و دانه های نوک پریده می باشد از رابطه (۴) به دست می آید (Changrie, 1999).

$$(۴) \quad \text{تلفات کل} = \left( \frac{W_2 + W_3 + W_4}{W_6 + W_2 + W_3 + W_4} \right) \times 100$$

که در این روابط:

(W<sub>1</sub>) دانه های جدا شده = وزن تمام دانه هایی که در حین عملیات کوبش از غلاف جدا شد.

(W<sub>2</sub>) دانه های ترک برداشته = وزن دانه هایی که در آن آثاری از ترک یا شکاف به وجود آمده باشد.

(W<sub>3</sub>) دانه های نوک پریده = وزن دانه هایی که نوک آن ها (قسمت جنین بذر) از بین رفته و این دانه ها قادر به سبز شدن نمی باشد.

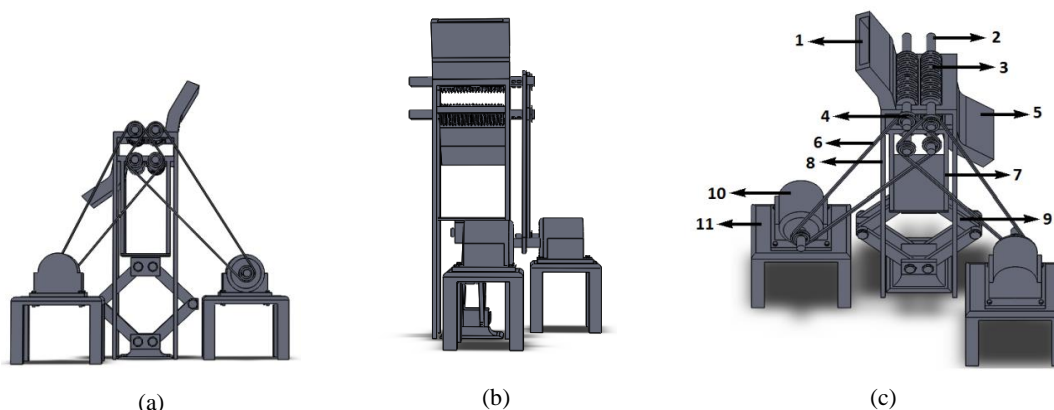
(W<sub>4</sub>) دانه های شکسته = وزن دانه هایی که توسط کوبنده دستگاه، خرد، له و یا شکسته شده است (ارزیابی دستگاه).

(W<sub>5</sub>) دانه های جدا نشده = وزن دانه هایی که پس از عملیات کوبش از غلاف جدا نشده و همراه با آن به بیرون از دستگاه می رود.

(W<sub>6</sub>) دانه های جدا شده سالم = وزن دانه های که پس از عملیات کوبش به طور سالم از غلاف جدا شده است.

### مدل سازی دستگاه در نرم افزار

پس از بررسی خواص فیزیکی و مکانیکی محصولات غلافی مختلف به خصوص سویا دستگاه پوست کنی در محیط نرم افزار سالیدورکس ۲۰۱۳ (Solidworks 2013) ترسیم شد. این دستگاه پوست کن از قسمت های: ۱- غلتک های پوست کنی ۲- محورهای غلتک ۳- صفحه غلتک های بالایی ۴- صفحه غلتک های پایینی ۵- جک مکانیکی ۶- پولی ۷- تسمه ۸- موتور تشکیل شده بود.



**شکل ۳-** (a) نمای روبه‌رو (b) نمای چپ (c) نمای ایزومتریک: (۱) ورودی محصول (۲) محورهای غلتک (۳) غلتک‌های چپ‌گرد و راست‌گرد (۴) پولی (۵) خروجی محصول (۶) تسمه (۷) صفحه غلتک پایینی (۸) صفحه غلتک بالایی (۹) جک مکانیکی (۱۰) موتور (۱۱) شاسی موتور

**Fig. 3.** a) Front view b) Left view c) Isometric view: (1) Input (2) Shaft (3) Roller (4) Pulley (5) Output (6) Belt (7) Lower roller screen (8) Higher roller screen (9) Mechanical jack (10) Motor (11) Motor chassis



(a)



(b)

**شکل ۴-** (a) غلتک‌های ساخته شده با پیچ ارشمیدسی (b) جک مکانیکی برای بالا و پایین بردن غلتک‌های پایینی

**Fig. 4.** (a) Roller made by Archimedes screw (b) Mechanical jacks for raising and lowering the lower roller

همچنین گشتاور ایجاد شده توسط جفت غلتک‌های بالایی و پایینی، مانند شکلات از غلاف جدا می‌شود. در این آزمایش از باز کردن پوسته شکلات برای باز کردن غلاف‌ها الهام گرفته شده است، چرا که برای باز کردن پوسته شکلات دو سر پوسته را در دو دست خود گرفته و در خلاف جهت یکدیگر آن‌ها را می‌چرخانیم. این کار باعث می‌شود غلاف‌ها به صورت سالم از هم جدا شود و نیروی کمتری برای تمیز کردن دانه از غلاف صرف شود.

از آنجایی که دستگاه حاضر برای پوست‌کنی بر اساس مالش طراحی شد، بنابراین سرعت‌های دورانی کمتری منظور شد. تا به بافت دانه آسیب وارد نشود و نیز دانه در فرآیند پوست‌کنی در معرض ترک یا شکستگی قرار نگیرد. برای این منظور از اینورتر (N700E, Hyundai) ۱/۵ کیلووات ساخت کشور کره جنوبی استفاده گردید. با استفاده از این اینورتر میزان دور کوبنده پوست‌کن تنظیم شد.

کارکرد قسمت کوبنده اکثر پوست‌کن‌های ساخته شده بر اساس کوبنده و ضدکوبنده و ضربه است که علاوه بر آن که احتمال شکستن و صدمه دیدن دانه‌ها را افزایش می‌دهد، با شکستن و خرد کردن غلاف‌ها نیاز به بادبزنی و دیگر واحدها برای جدایش دانه‌ها از کاه و کلش ضروری می‌باشد، که با توجه به افزایش روند و اضافه شدن مرحله بوجاری (تمیز کردن دانه از کاه) توان مورد نیاز در این نوع پوست‌کن‌ها را افزایش می‌دهد. با توجه به کارکرد کوبنده حاضر، اینکه در آن شکستن و خرد شدن غلاف به ندرت اتفاق می‌افتد می‌توان فقط به کمک بادبزنی و بدون هیچ‌گونه عملیات دیگری محصول را بوجاری نمود. دانه‌ها و غلاف‌ها در این نوع پوست‌کن مانند سایر کوبنده‌ها بر اثر ضربه از هم جدا نمی‌شوند که این امر باعث پایین آمدن شکستگی و ترک برداشتن دانه‌ها در این نوع کوبنده می‌شود. در این نوع پوست‌کن دانه‌ها توسط نیروهای مالشی خلاف جهت هم و



شکل ۵- غلاف های باز شده سویا  
Fig. 5. Opened pods of soybean



شکل ۶- دستگاه در حال انجام کار  
Fig. 6. Device while working



(a)



(b)

شکل ۷- (a) اینورتر برای تنظیم میزان دور کوبنده پوست کن (b) نمای کلی دستگاه پوست کن  
Fig. 7. (a) Inverter to adjust the rapidity of husker (b) Overview of seed pod husker

## نتایج و بحث

### نتایج آزمون عملی و تعیین شرایط کاری بهینه دستگاه

#### ارزیابی اولیه دستگاه

تمامی اجزای متحرک مانند تسمه و پولی، محور دوار و یاتاقانها، اجزای ثابت دستگاه و اتصالات پس از ۴ روز کاری ۵ ساعته مورد بازرسی قرار گرفت و هیچ گونه مشکل فنی مشاهده نشد. همچنین طبق مشاهدات عینی عملکرد غلتک های کوبنده جدید در مورد محصول سویا با توجه به رزوه های مثلثی غلتکها، همانطور که

تجزیه و تحلیل داده ها برای دو تیمار سرعت دوران کوبنده در سه سطح ۱۱۰، ۱۷۰ و ۲۱۰ دور بر دقیقه و فاصله محفظه کوبنده در سه سطح ۷، ۸ و ۹ میلی متر و در سه تکرار به روش تجزیه واریانس (ANOVA) با یک آزمایش فاکتوریل با طرح کاملاً تصادفی و مقایسه مقادیر میانگین و برهم کنش پارامترها به کمک نرم افزار SPSS 22 انجام گرفت. مقایسه میانگین ها از طریق آزمون چنددامنه ای دانکن در سطح احتمال ۱ درصد انجام شد.

مقایسه مقادیر میانگین پارامترهای اندازه‌گیری تحت تأثیر سرعت کوبنده و فاصله بین غلتک‌ها در رطوبت مورد نظر در جدول ۲ ارائه شده است.

اثر فاصله، سرعت و اثر متقابل فاصله و سرعت برای هر سه پارامتر بررسی شده برای محصول سویا در سطح احتمال ۱٪ معنی‌دار بود.

پیش‌بینی می‌شد، قابل قبول بود و به‌طور کیفی مشکل پیچیدن و گیرکردن غلاف‌ها به دور محور دوار مشاهده نگردد.

### تعیین شرایط کاری بهینه دستگاه

نتایج تجزیه واریانس پارامترهای اندازه‌گیری تحت تأثیر عوامل آزمایش و برهم‌کنش آن‌ها در مورد محصول سویا در جدول ۱ و

جدول ۱- تجزیه واریانس اثر تغییر متغیرها بر روی کارکرد دستگاه حین آزمایش سویا

Table 1- ANOVA of the variable effect on device performance during soybean test

منابع تغییر Source of Variation	درجه آزادی (df)	میانگین مربعات Mean of Square		
		بازده Efficiency	جدایش Separation	تلفات Loss
فاصله Distance	2	4.095**	0.004**	0.004**
سرعت Speed	2	2.087**	1**	0.004**
فاصله × سرعت Distance×Speed	4	0.004**	4**	3**
خطا Error	54	8	6	1

ns و \* و \*\* به ترتیب غیرمعنی‌دار و معنی‌دار در سطح احتمال ۵ و ۱٪.

\*, \*\*, Significant at 5% and 1% of probability levels, respectively, ns: non-significant

جدول ۲- اثر متغیرها در میانگین راندمان دستگاه، بازده جدایش و تلفات کل حین آزمایش سویا

Table 2- The effect of variables in the average efficiency of the device, the separation efficiency and total losses during soybean test

نوع بذر Seed	پارامتر اندازه‌گیری Measured Parameter					
	سرعت Speed (rpm)	فاصله Distance (mm)	راندمان دستگاه Efficiency%	بازده جدایش Separation%	تلفات کل دستگاه Loss%	
سویا (Soybean)	110	7	91.66 <sup>a,b</sup>	88.82 <sup>c</sup>	1.90 <sup>a,b</sup>	
		8	91.23 <sup>b</sup>	90.05 <sup>b</sup>	3.21 <sup>b,c</sup>	
		9	92.15 <sup>a,b</sup>	89.71 <sup>b,c</sup>	2.85 <sup>b</sup>	
	170	7	92.51 <sup>a</sup>	89.4 <sup>b,c</sup>	1.66 <sup>a</sup>	
		8	91.66 <sup>a,b</sup>	90.35 <sup>b</sup>	2.98 <sup>b</sup>	
		9	93.07 <sup>a</sup>	90.01 <sup>b</sup>	3.03 <sup>b</sup>	
	210	7	92.23 <sup>a</sup>	92.27 <sup>a</sup>	3.90 <sup>c</sup>	
		8	90.41 <sup>b</sup>	89.55 <sup>b,c</sup>	1.70 <sup>a</sup>	
		9	91.88 <sup>a,b</sup>	89.47 <sup>b,c</sup>	3.22 <sup>b,c</sup>	
	حداقل اختلاف معنی‌دار بین میانگین‌ها (در سطح ۱ درصد)			1.17	1.44	1.13
	انحراف معیار			0.74	0.91	0.72

را طی می‌کند تا این که به حداکثر بازده خود رسیده و سپس با افزایش سرعت روند نزولی را در پیش می‌گیرد (شکل ۸). بهترین بازده مربوط به سویا در سرعت ۱۷۰ دور بر دقیقه به‌دست آمد که مقدار آن ۹۲/۴۱٪ بود. در راندمان دستگاه، فقط پارامتر جدا کردن دانه از غلاف بررسی شد. لذا منطقی به نظر می‌رسد که با افزایش سرعت دورانی

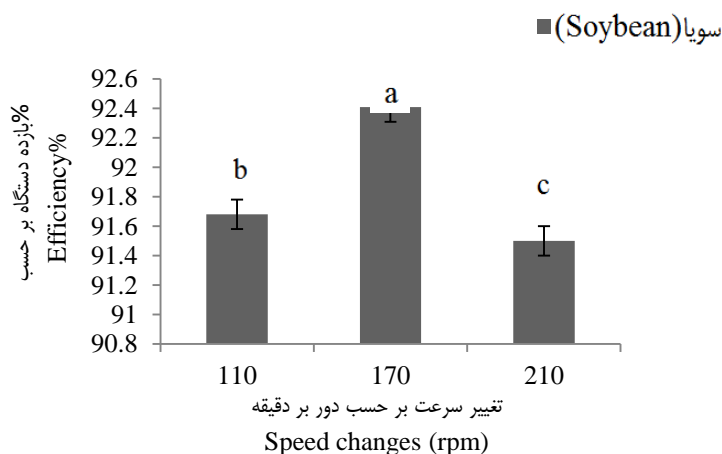
### نتایج تأثیر عوامل آزمایش بر بازده دستگاه

نتایج حاصل از کار تحقیقاتی حاضر نشان داد که در محصول سویا با افزایش سرعت دستگاه کوبنده، بازده دستگاه روندی صعودی



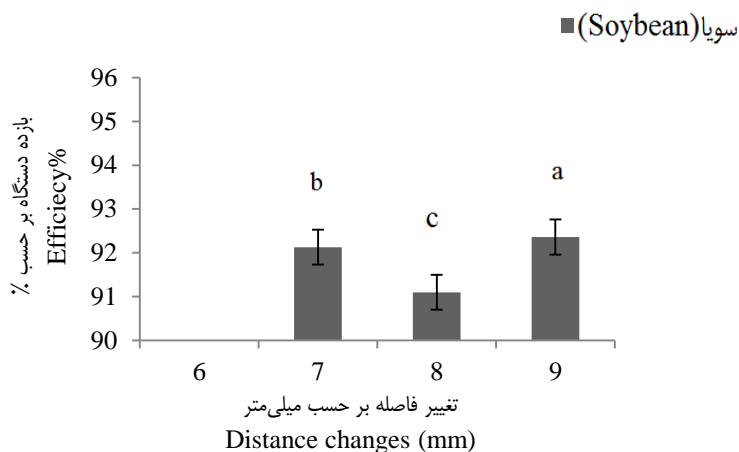
میله‌متری کوبنده به دست آمد که مقدار آن ۹۲/۳۶٪ بود. در فاصله ۹ میله‌متری کوبنده غلاف‌ها به علت آزادی عمل بیشتر نیروی مالشی بیشتری را دریافت می‌کنند و این قضیه باعث افزایش بازده دستگاه در این سرعت شده است. بازده دستگاه با بازده به دست آمده توسط یوکاتو هم‌خوانی دارد (Ukato, 2006).

کوبنده، راندمان دستگاه نیز بیشتر شود و توانایی دستگاه در جدا کردن دانه‌ها بهبود یابد، اما در این نمونه شاید با افزایش سرعت، جنب و جوش غلاف‌ها بیشتر شده و بخشی از آن به صورت دست نخورده باقی می‌ماند. از طرف دیگر همانطور که در شکل ۹ نشان داده شده با افزایش فاصله کوبنده برای سویا، بازده دستگاه ابتدا کاهش یافته و سپس افزایش می‌یابد. در این نمودار بهترین بازده سویا در فاصله ۹



شکل ۸- تأثیر تغییرات سرعت بر بازده دستگاه

Fig. 8. The effect of speed changes on system efficiency



شکل ۹- تأثیر تغییرات فاصله بر بازده دستگاه

Fig. 9. The effect of distance changes on system efficiency

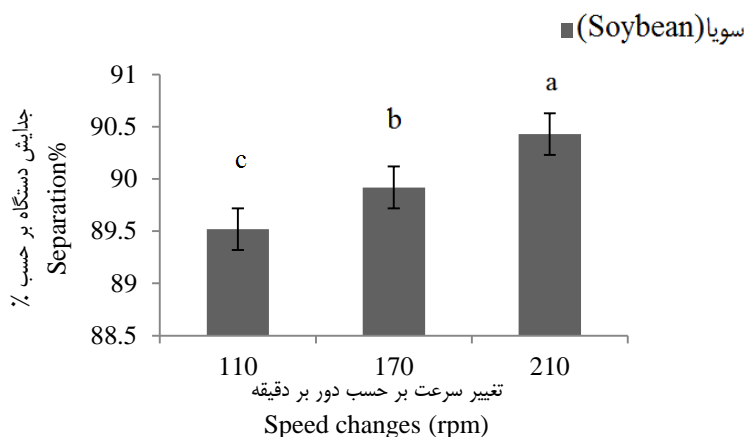
قوی‌تر بوده و محصول نیروی مالشی بزرگ بیشتری را تحمل کرده که منجر به جدایش بهتر آن‌ها می‌شود. در شکل ۱۱ همان‌طور که مشاهده می‌شود با افزایش فاصله کوبنده بازده جدایش روندی نزولی دارد به طوری که در فاصله ۹ میله‌متری به کمترین مقدار یعنی ۸۹/۷۳٪ می‌رسد. شاید بتوان گفت که برای سویا فاصله بیشتر کوبنده

#### نتایج تأثیر عوامل آزمایش بر جدایش دستگاه

با افزایش سرعت دورانی کوبنده بازده جدایش دانه‌ها افزایش می‌یابد (شکل ۱۰). به طوری که بهترین بازده جدایش در سرعت ۲۱۰ دور بر دقیقه با میزان ۹۰/۴۳٪ به دست آمد. به طور کلی در سرعت‌های بالاتر کوبنده، عملکرد اجزای کوبنده روی محصول

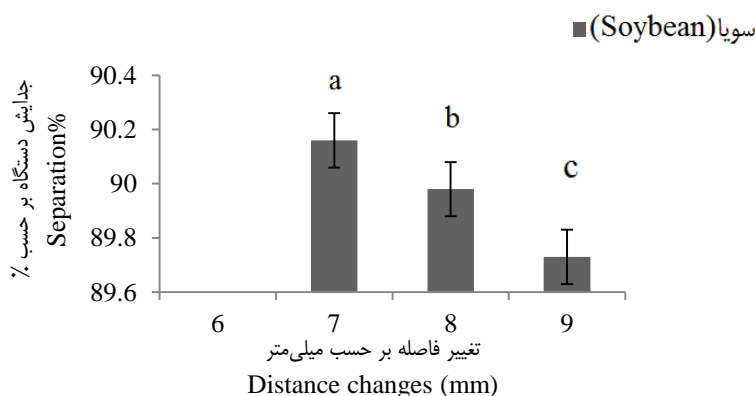
جدایش در سویا کاهش می‌یابد. این بازده جدایش با بازده جدایش گزارش شده توسط Ukato (۲۰۰۶) و میرزازاده و همکاران (۲۰۱۱) مطابقت دارد.

باعث می‌شود نیروی لازم برای جدا کردن دانه و غلاف از هم تأمین نشود. از طرف دیگر در فواصل زیاد کوبنده میزان مالش که به‌عنوان عاملی تأثیرگذار در جدایی دانه از غلاف محسوب می‌شود کم شده و



شکل ۱۰- تأثیر تغییرات سرعت بر بازده جدایش دستگاه

Fig. 10. The effect of speed changes on system separation efficiency



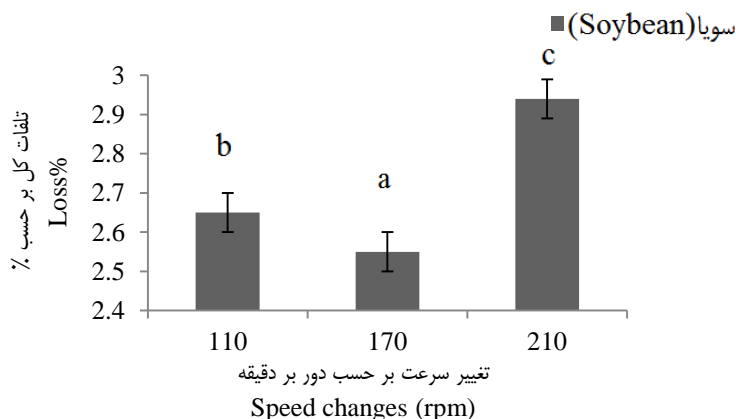
شکل ۱۱- تأثیر تغییرات فاصله بر بازده جدایش دستگاه

Fig. 11. The effect of distance changes on system separation efficiency

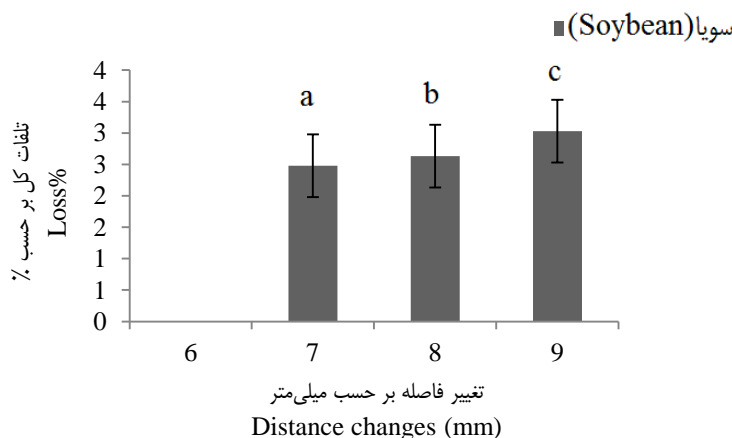
شکل ۱۳ و در نمودار مربوط به سویا نشان داده شده است با افزایش فاصله کوبنده تلفات کل دستگاه نیز افزایش می‌یابد دلیل این موضوع احتمالاً افزایش تحرک و جنب و جوش بذر و برخورد بیش از اندازه آن به کوبنده است که موجب شده تلفات دستگاه روندی صعودی را طی کند. در نمودار مربوط به سویا حداکثر آسیب در فاصله ۹ میلی‌متری کوبنده‌ها اتفاق افتاده که میزان آن ۳/۰۳٪ است. میزان تلفات دستگاه فوق با تلفات ارائه شده توسط Klenin و همکاران (۱۹۸۵) هم‌خوانی داشت.

#### نتایج تأثیر عوامل آزمایش بر تلفات کل دستگاه

نمودار مربوط به تلفات دستگاه حین آزمایش سویا ابتدا نزولی و سپس صعودی بوده به‌طوری‌که بیشترین تلفات با مقدار ۲/۹۴٪ بوده که در سرعت ۲۱۰ دور بر دقیقه اتفاق افتاده و این موضوع نشان‌دهنده این واقعیت است که با افزایش سرعت برخورد غلتک‌ها به دانه‌ها، انرژی منتقل شده به دانه‌ها افزایش یافته و برخورد شدیدتری بین دانه‌ها و صفحه کوبنده رخ می‌دهد. همین امر افزایش دانه‌های آسیب دیده را موجب می‌گردد (شکل ۱۲). همان‌طور که در



شکل ۱۲- تأثیر تغییرات سرعت بر تلفات دستگاه  
**Fig. 12.** The effect of speed changes on system loss



شکل ۱۳- تأثیر تغییرات فاصله بر تلفات دستگاه  
**Fig. 13.** The effect of distance changes on system efficiency

ظرفیت دستگاه برای سویا رقم سحر ۲۸/۵ کیلوگرم در ساعت گزارش می شود. برای حصول حداکثر راندمان، حداکثر جدایش و حداقل تلفات برای سویا می توان به ترتیب از ترکیب (۹ mm - ۱۷۰ rpm)، (۷ mm - ۲۱۰ rpm) و (۷ mm - ۱۷۰ rpm) استفاده نمود. در نهایت پیشنهاد می شود عملکرد دستگاه در مورد محصولات غلافی دیگر مانند انواع لوبیاها و برای پارامترهای دیگری نظیر درصد جوانه زنی، ضریب هدایت الکتریکی، مسائل ارگونومی نظیر سر و صدا و ارتعاش دستگاه و نیز تأثیر عوامل دیگر از جمله طول غلتک های پوست کنی، تعداد محورهای در برگیرنده غلتک ها و نحوه چرخش آن ها و نیز نوع رزوه های ایجاد شده روی غلتک ها در آزمون عملی مورد بررسی و تحلیل قرار گیرد.

### نتیجه گیری

در این کار تحقیقاتی به طراحی، ساخت و ارزیابی یک نمونه پوست کن مربوط به دانه های غلافی در مقیاس آزمایشگاهی با استفاده از روابط، جداول و استانداردهای طراحی اجزا ماشین پرداخته شد و عملکرد آن از لحاظ بازده، درصد جدایش محصول و میزان تلفات کل محصول مورد ارزیابی عملی قرار گرفت. نتایج مشاهدات عینی و کیفی نشان داد که دستگاه ساخته شده در مقابل حداکثر گشتاور وارده از طرف محصول، مقاومت و استحکام کافی را دارد. نتایج آزمون علمی حاصل از تجزیه واریانس به عمل آمده نشان داد که تأثیر سرعت دورانی کوبنده و فاصله بین کوبنده و ضد کوبنده بر بازده، درصد جدایش و میزان تلفات کل معنی دار بود ( $P < 0.1$ ).

## References

1. Adewunmi, T. 2000. Performance evaluation of a locally-developed maize-sheller with husking and winnowing capabilities. Proceedings of the 5<sup>th</sup> International Conference of the Nigerian Institution of Agricultural Engineers, Ilorin.
2. Ahmadi, K., H. A. Gholizade, H. R. Ebadzade, R. Hosseinpour, F. Hatami, B. Fazli, A. Kazemian, and M. Rafiee, 2016. Agriculture Statical Book 2013-2014. Tehran, Jahad-e- Daneshgahi. (In Farsi).
3. Alonge, A. F., and T. A. Adegbulugbe. 2000. Performance evaluation of a locally developed grain thresher-II. AMA, Agricultural Mechanization in Asia, Africa and Latin America 31 (2): 52-54.
4. Arvinder, S., I. K. Garg, V. K. Sharma, and A. Singh. 2001. Effect of different crop and operational parameters of a combine on grain damage during paddy harvesting. Journal of Research, Punjab Agricultural University 38 (3-4): 12.
5. Beyhan, M. A., A. Tekgüler, T. Yıldız, and H. Sauk. 2009. Investigation of the performance of a hazelnut husker design used in Turkey. Biosystems engineering 103 (2): 159-166.
6. Candra, A., and Wardiyanto. 1998. The construction design of corn sheller and corncob crusher machine. Department of D-3 Disnakertsransduk Mechanical Engineering, FTI-ITS.
7. Changrie, V. 1999. Development of corn husker sheller. Master of Engineering, Thesis in Agricultural Engineering Graduate School, Kasetsart University. (In Thai).
8. Datt, P., and S. Annamalia. 1991. Design and development of straight through peg tooth type thresher for paddy. Agricultural Mechanization in Asia, Africa and Latin America. 22 (4): 47-50.
9. Dres' zer, K., and J. Gieroba. 1999. Mechanical damage to grain in multidrum threshing and separating sets. Int. Agrophysics 1 (3): 73-78.
10. Haffer, I., K. B. Singh, and W. Birbari. 1991. Assessment of chickpea (*Cicer Arietinum*) grain quality and losses in direct combine harvesting. Transactions of the ASAE 1 (34): 9-13.
11. Karimi, F., and A. Fadavi. 2013. Design, construction and evaluation of wild pistachio sheller. Journal of Agricultural Machinery 2 (4): 133-140.
12. Kirkkari, A. M., S. P. Peltonen, and H. Rita. 2001. Reducing grain damage in naked oat through gentle harvesting. Agricultural and Food Science in Finland 10 (3): 7.
13. Klenin, N. I., I. F. Popov, and V. A. Sakun. 1985. Agricultural Machines American Publishing Co. Pvt. Ltd. New Dehli: 400-418.
14. Kowalczuk, J. 1999. Pattern of seed losses and damage during soybean harvest with grain combine harvesters. International Agrophysics 13: 6.
15. Mailander, M. P., J. K. Schueller, and G. W. Krutz. 1983. Processing characteristics of the IH 1460 combine [in wheat, soybeans and corn]. Paper-American Society of Agricultural Engineers (USA). Microfiche Collection. No. Fiche 83-1586.
16. Mansoori, H., and S. Minaee. 2002. Effect of machine parameters on wheat loss in John Deere combines. The First National Conference of Agricultural Products Wastes. Tarbiat Modarres University. Tehran: 3. (In Farsi).
17. Mirzazade, A., S. Abdollahpour, and M. Moghadam. 2011. The effect of design parameters on the separation of materials in drum to minimize the loss in combines. Journal of Agriculture Science and Sustainable Production 21 (3): 15. (In Farsi).
18. Mirzazade, A., Sh. Abdollahpour, and M. Moghadam. 2011. Effects of operating parameters on threshing efficiency control the amount of threshing loss. Journal of Agriculture Science and Sustainable Production 21 (1): 15. (In Farsi).
19. Mozafari, M., K. Kazemiankhah, and H. Alizade. 2008. The effect of rotational speed and size of holes in concave on thresher yield for sugar beet seed. Fif<sup>th</sup> National Congress of Agricultural Engineering and Mechanization. Mashhad Ferdowsi University: 7. (In Farsi).
20. Noormohamadi, D., and S. Zareiean. 2003. Effects of different tillage and planting methods on growth of wheat. Iran Journal of Agricultural Sciences 2 (34): 321-332. (In Farsi).
21. Ojomo, A., O. Ale, M. O. Ogundele. 2012. Response surface methodology approach to optimizing performance parameters of a locally fabricated maize shelling machine. Journal of Science and Multidisciplinary Research 1 (3): 5.
22. Sadeghi, B. 2012. Design, construction and evaluation of a homemade corn sheller. Biosystem engineering, Sari Agriculture and Natural Resources University. Master of Science (In Farsi).
23. Santokh, S., H. S. Sidhu, S. S. Ahuja, and S. Singh. 2002. Grain losses in combine harvesting of paddy. Journal of Research Punjab Agricultural University 3 (39): 395-398.
24. Shirzad, R., T. Mesri Gandoshmin, T. Khoram. 2013. The effect clearance of drum and concave on breakage of cleaned seeds in conventional combine. The Second National Congress of Organic and Conventional Farming.

Mohaghegh Ardabili University, Ardabil: 6. (In Farsi).

25. Singh, K., and B. Singh. 1981. Effect of crop and machine parameters on threshing effectiveness and seed quality of soybean. *Journal of Agricultural Engineering Research* 26 (4): 349-355.
26. Singh, S. P., S. Singh, and P. Singh. 2012. Ergonomics in developing hand operated maize dehusker–sheller for farm women. *Applied ergonomics*, 43 (4): 792-798.
27. Srison, W., S. Chuan-Udom, and K. Saengprachatanarak. 2016. Effects of Operating Factors for an Axial-flow Corn Shelling Unit on Losses and Power Consumption. *Agriculture and Natural Resources*.
28. Tahir, A. R., F. U. H. Khan, and E. Khurram. 2003. Techno–Economic Feasibility of Combine Harvester (Class Denominator)—A Case Study. *International Journal of Agriculture and Biology* 5 (1): 57-60.
29. Ukatu, A. C. 2006. A modified threshing unit for soya beans. *Biosystems Engineering* 95 (3): 371-377.

## Construction of a Seed Pod Husker and Evaluating with Soybean in Laboratory Scale

S. Hasantabar<sup>1</sup>- S. R. Mousavi Seyedi<sup>2\*</sup> - D. Kalantari<sup>2</sup>

Received: 19-7-2017

Accepted: 6-11-2017

### Introduction

Nowadays, due to growth and development of the husbandry and its worthiness in providing human basic needs, affecting parameters such as costs, efficiency and fuel consumption is significantly important. So, increasing the efficiency of threshing machine could lead us to huge savings in energy. However using the conventional drums and concaves have some problems such as damaging seeds due to impact, complicated manufacturing technology and spending a lot of energy in separating process. Therefore in order to overcome above mentioned problems especially energy consumption, a new seed pod husker based on rubbing was designed, fabricated and tested in this research.

### Materials and Methods

Practical tests of this device were carried out on soybean which was harvested in a farm of Babolsar city. The experimental design was simple randomized complete design with three replications. The rotational speed of rollers and distance between rollers varied in three levels of 110, 170, and 210 rpm and 7, 8, and 9 mm for soybean. The measured parameters consisted of efficiency, separation and loss. For designing the seed pod husker, the required electric motor power and the torque for separating seeds from its pods were calculated. After reviewing the physical and mechanical characteristic of some seed pod crops specially, soybean, a seed pod husker was designed in SOLIDWORKS 2013 software. In order to facilitate seeds separation from the pod, it was preferred to use the right-round and left-round Archimedes screw on the rollers. According to the preliminary evaluations, it was considered to use a speed range of 110 to 210 rpm; it was because of that the speed lower than 110 rpm was not able to open pods and the speed higher than 210 rpm caused hyper movements of pods. Analysis of variance (ANOVA) and mean comparisons and interaction between the parameters were performed using the SPSS 22 software.

### Results and Discussion

The results indicated that the rollers were acceptable and sticking of pods were not seen. Results indicated that the efficiency of this device was increased with increasing the rotational speed and then was decreased. Increasing the rotational speed was led to increase separation. It is because of this fact that the performance of the husker's component will be more powerful and crops suffer bigger impacts. The chart of device loss had a relatively upward slope. It could be due to a tougher collision between the seeds and the rollers. Increasing the roller distance, first decreased the efficiency of soybean and then increased that. The results indicated that separation efficiency decreased by increasing the distance. The reason for that was due to unavailable necessary force to separate the seed and pod. As the roller distance increased, the total losses of the device also increased. The reason for this was likely increasing in the movement of the seeds.

### Conclusions

The results of practical tests and qualitative observations showed that the device had sufficient resistance against the maximum torque produced by the crop. Influence of rotational speed of rollers and rollers clearance on the efficiency, separation and loss were significant for new fabricated seed pod husker ( $P < 0.01$ ). The capacity of the machine for soybean was  $28.506 \text{ (kg hr}^{-1}\text{)}$ . To achieve maximum efficiency, maximum separation and minimum loss for soybean, authors suggest using (9mm-170rpm), (7mm-210rpm) and (9mm-110rpm)

1 and 2- MSc Graduated and Associate Professors of Mechanics of Biosystem Department, respectively, Sari Agricultural Sciences and Natural Resources University  
(\*- Corresponding Author Email: mousavi22@yahoo.com)

compounds, respectively. Eventually, it is suggested to evaluate this machine for other seed pod crops and for other parameters such as germination percentage, electric conductivity and ergonomic issues such as noise and machine vibration. Of course, it is recommended to survey the impact of length of husking roller, shaft rotation method and thread types on measurement parameters.

**Keywords:** Drum and Concave, Husker, Seed Pod, Soybean

